

図-3 応力-ひずみ関係

(2)等価拘束圧・損傷度の進展：等価拘束圧および損傷度を図-4 に示す各切断面(A および B)にて考察する。各軸ひずみ(0.5, 1.0 および 1.5%)に対する切断面 A(供試体中央面から 1.5cm 上側)における各要素の平均等価拘束圧の分布状況を図-5 および 6 に示す。なお図中 σ_{LY} は、CF シートからの作用する計算拘束圧であり、ここでは 5MPa である。円形断面の場合には、断面全域に拘束領域が広がっていることが分かっているが^{3),4)}、角形断面の場合には、対角線状に拘束力が働く傾向にある。切断面 B(供試体中心から 3.0cm 外側)における各ガウスの損傷度の分布状況を図-7 および 8 に示す。端面摩擦を考慮した解析結果の方が、上面が拘束されているため中央部分の損傷の進展が速くなり、0.1%軸ひずみ時点からひずみ軟化が始まる。また、内部でせん断破壊が生じる。

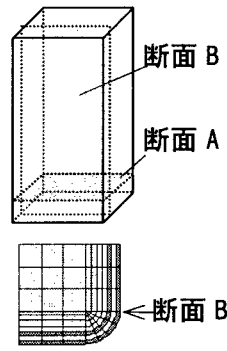


図-4 進展図の切断面 (1/8 モデル)

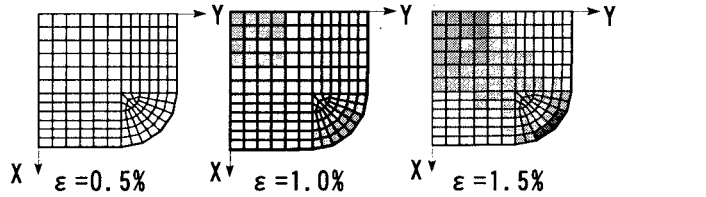


図-5 等価拘束圧の進展図 20r(端面摩擦無し)

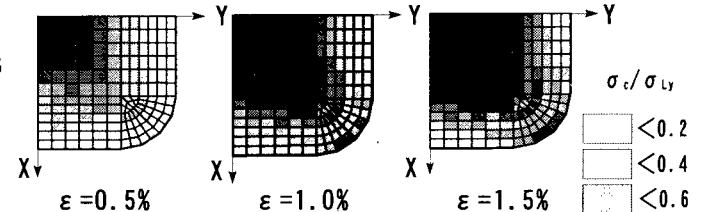


図-6 等価拘束圧の進展図 20rf (端面摩擦有り)

4. まとめ

角形コンクリート柱の破壊メカニズムについて解析的考察を行った結果、面取り半径が大きいと、CF シートによる拘束圧の効果は大きいことが確認できた。また、端面摩擦を考慮した解析では、上部は損傷を受けにくく、内部ではせん断破壊を起こしていることが分かった。

謝辞：本研究は、文部省ハイテクリサーチ構想による研究費(中部大学)によったことを付記する。

参考文献

- 1)伊藤秀樹：炭素繊維シートを用いたコンクリート部材の補強に関する基礎研究，平成9年度 三重大学修士論文。
- 2)水野英二，森本康介，畑中重光：中心軸圧縮力を受けるコンファインドコンクリートの拘束効果に関する三次元 FEM 解析，コンクリート工学年次論文報告集，Vol.20-3，85-90，1999。
- 3)深津伸，水野英二，山田善一，森本康介，畑中重光：炭素繊維シートで補強されたコンクリート供試体の圧縮挙動解析，土木学会第54回年次学術講演会，第1部(A)，510-511，平成11年9月。
- 4)水野英二，大工綾子，畑中重光：炭素繊維シートで補強した円形コンクリート柱の圧縮耐力について，土木学会中部支部平成11年度研究発表会。

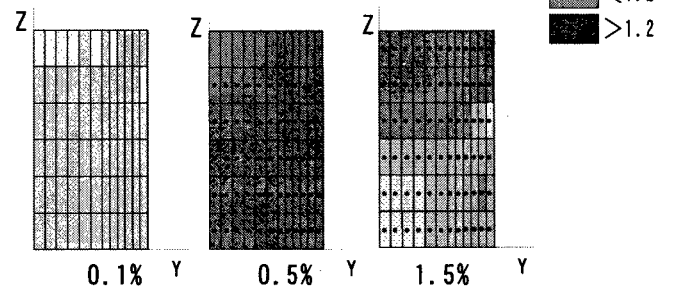


図-7 損傷度の進展図 20r(端面摩擦無し)

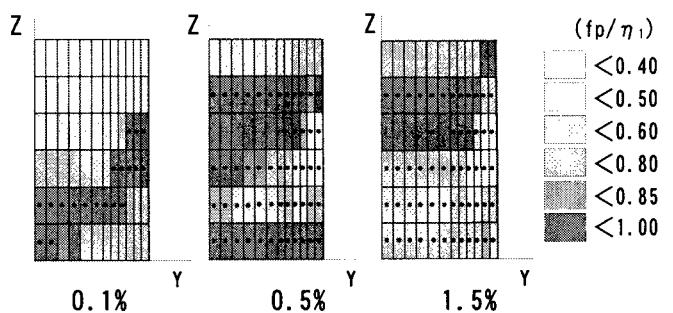


図-8 損傷度の進展図 20rf(端面摩擦有り)